

## CONTROL OF EXPERIMENTAL WALKING ROBOT USING SIMULATING MODEL

R. Grepl, S. Věchet, M. Bezdíček, M. Švehlák, J. Chmelíček<sup>1</sup>

**Summary:** This paper describes the scheme of remote operator control of mobile walking robot. Control structure is appropriate for low level control of robot (full operator supervision) and for initial phase of robot design. Kinematic and dynamic models are built in Matlab–Simulink–SimMechanics environment. Computation speed of model allowed real-time control of robot. Adopted approach is tested on small experimental physical model - quadruped walking robot with four legs and 12 d.o.f. overall.

### Keywords

walking robot, mobil robot control, Matlab–SimMechanics

## 1 Úvod

Konstrukce a řízení kráčejících robotů představuje globálně velmi zajímavý zdroj vědeckých problémů. Hlavní motivací je potenciální zvýšení některých jejich užitných vlastností, srovnáme-li je s roboty s klasickým (kolovým, pásovým) podvozkem. Příkladem může být např. možnost pohybu v složitém terénu, překonávání překážek, pohyb po vertikálních plochách atd. Uvažovanými oblastmi nasazení mobilních robotů je inspekce a zásahy v nebezpečném prostředí, pyrotechnické práce, kosmonautika, vojenství.

S tím jak roste podobnost kráčejících robotů s jejich živými vzory (hmyz, zvířata,... lidé), zvyšuje se i obtížnost návrhu a řízení. K tradičním problémům mobilní robotiky (lokální a globální navigace, rozpoznávání překážek, tvorba map prostředí, počítačové vidění apod.) přibývají náročné otázky konstrukce pedového mechanismu, volby a optimalizace pohonů, uspořádání noh robotu (počet noh a počet stupňů volnosti), synchronizace pohonů a v neposlední řadě otázka stability robotu.

Při návrhu koncepce řízení mobilního robotu je nutné uvážit míru podílu operátora (člověka) na vlastním řízení robotu. Z tohoto hlediska je možno řízení rozdělit takto:

1. Plně operátorové řízení – zde máme u kráčejícího robotu na mysli přímé řízení pohybu jednotlivých noh operátorem. Vhodné při počáteční fázi návrhu, testování algoritmů a při nouzových a extrémních situacích (např. překonávání náročných překážek).



2. Částečně autonomní řízení – operátor zadává lokální cíle činnosti (přemístění nebo otočení celého robota, průzkum okolí robota apod.), jejich realizaci obstará řídící systém robota sám. Operátor může v případě potřeby zasáhnout. V případě krájejícího robota to může znamenat, že operátor zadává směr pohybu robota, samotnou chůzi však robot vykonává sám.
3. Plně autonomní činnost – robot sám zná globální cíl chování a sám provádí kroky k jeho splnění.

Zcela autonomní činnost robota ve složitém prostředí a s náročnými požadavky chování je obtížně realizovatelná, pro řadu úloh však postačuje malá míra samostatnosti robota – např. pro pyrotechnické aplikace je teleoperátorové řízení vhodné.

Dalším souvisejícím problémem je implementace řídících algoritmů vyvíjených a testovaných na PC v prostředí mikrokontroleru robota. Klíčovou otázkou je zde spotřeba energie, ale i časová (a tím i personální a finanční) náročnost převodu kódu. Často se proto přesun „inteligence“ do vlastní řídící jednotky robota provádí postupně.

## 2 Formulace problému

Doposud se naše práce prováděné v rámci výzkumných projektů soustředily na návrh kinematických inverzních modelů, statické a dynamické analýzy, dále pak na tvorbu a identifikaci tepelných modelů. Některé výsledky byly zveřejněny v článcích [8, 9, 10, 7]. Získali jsme takto určité zkušenosti, které jsou využívány při stavbě čtyřnohého robota projektu AV ČR [5, 6]. Pro rychlé praktické ověření některých algoritmů a výpočetních metod jsme dále přistoupili k stavbě malého experimentálního robota. Vývoj řídícího software není stále ještě uzavřen.

Současně se započetím stavby fyzikálního modelu se objevily úvahy o způsobu řízení. Tento příspěvek se věnuje popisu prvotního testovacího dálkového řízení robota operátorem, které bylo realizováno v prostředí Matlab–Simulink.

Požadavky na řídící systém byly definovány takto:

- malá časová náročnost tvorby testovacího řídícího systému
- implementace inverzního kinematického modelu celého robota
- implementace bloků pro komunikaci s robotem po sériové lince
- využití dynamického modelu pro určení stability robota
- simulační model musí pracovat v reálném čase na dostupném počítači PC

Hlavním cílem návrhu tohoto řízení bylo testování a úprava řídícího kódu v mikrokontroleru a také vlastní mechanické konstrukce (upevnění servopohonů, měření praktické zatížitelnosti robota apod.).

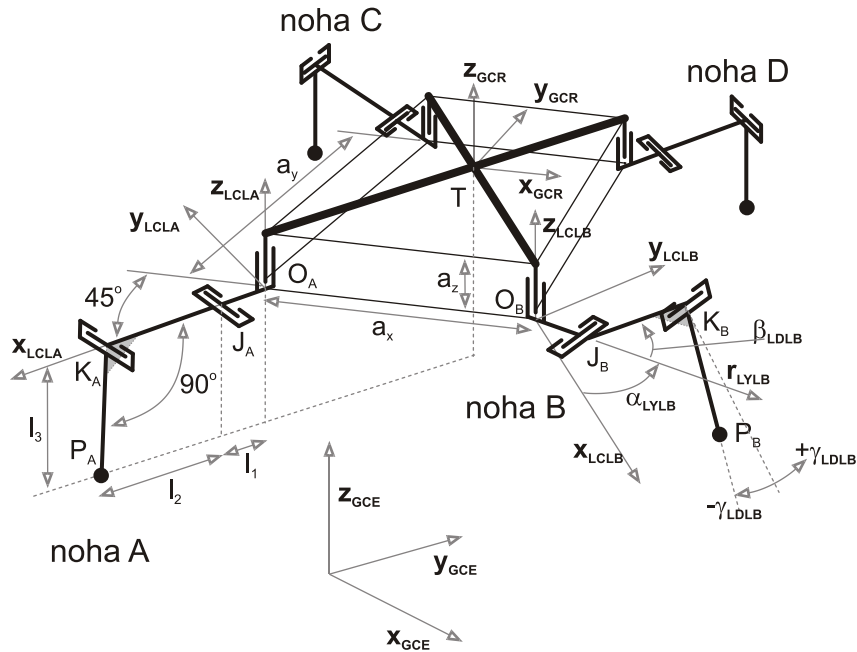
## 3 Postup návrhu řídícího modelu

### 3.1 Inverzní kinematický model založený na principu polohové regulace těla robota

S respektováním prvních tří bodů požadavků formulovaných v předchozím odstavci jsme přistoupili nejprve k návrhu inverzního kinematického modelu (IKM) realizovaného čistě v Si-

mMechanics. Nebylo nutné formulovat přímý ani inverzní analytický model robotu nebo jeho nohy, postup je popsán např. v [9].

Pomocí definice geometrie jednotlivých částí robotu (obr. 1) a vazeb mezi nimi byl byl vytvořen model mechanismu. Vazby mezi konci noh a terénem jsou sférické. Neuvažujeme tedy prokluz nohy ani tuhosti podložky a koncového efektoru. V rotačních vazbách odpovídajících umístění servopohonů není zavedeno silové ani kinematické působení.



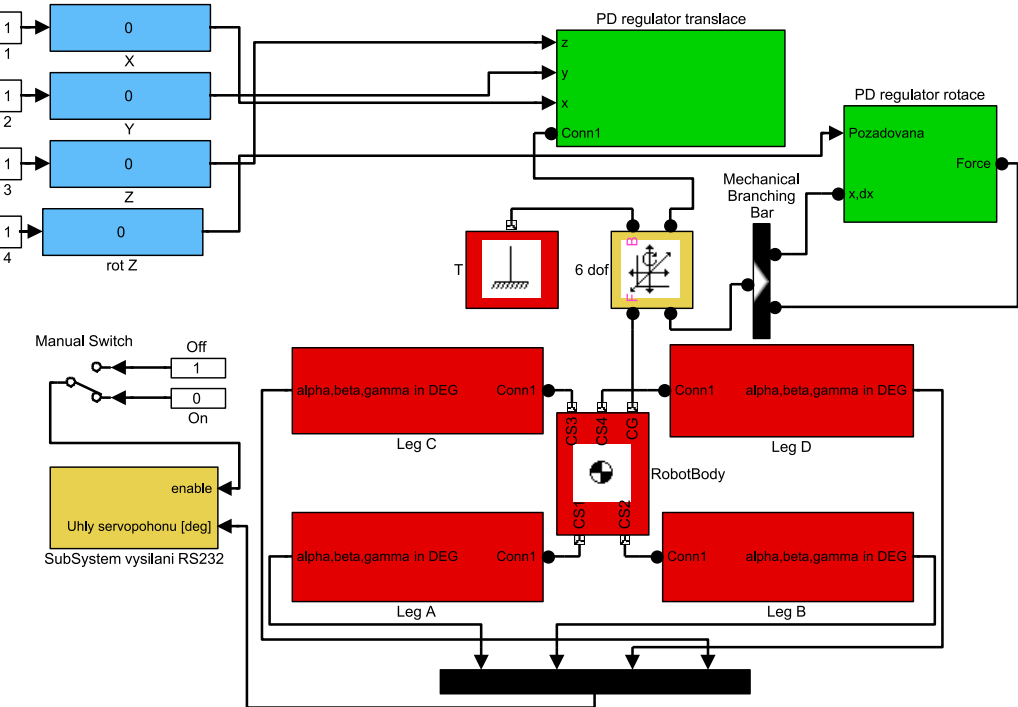
Obr. 1: Geometrie robotu a definice souřadných systémů

Tělo robotu je volně umístěno v prostoru a má tak šest stupňů volnosti. Pro každý z těchto stupňů volnosti je připojen PD polohový regulátor. Schéma simulačního modelu je uvedeno na obr. 2. Vlastní uživatelské rozhraní je provedeno Simulinkovskými prvky slider gain. Uživatel tak může jednoduše měnit polohu těla robotu a jeho natočení vůči glob. souř. systému. Model dále umožňuje provést změnu počáteční polohy robotu, ladění nulové pozice jednotlivých servopohonů (korekce konstrukčních a montážních nepřesností), provádění některých měření zatížitelnosti robotu apod. Není možné řídit chůzi robotu nebo samostatný pohyb jednotlivých jeho noh.

Pomocí bloků sensor jsou v příslušných rotačních vazbách odečítány hodnoty potřebného natočení servopohonů. Následně jsou upraveny a pomocí komunikačních bloků (popsány v odstavci 3.3) odeslány po sériové lince do řídícího mikrokontroleru robotu.

### 3.2 Struktura výsledného řídícího modelu v prostředí Simulink

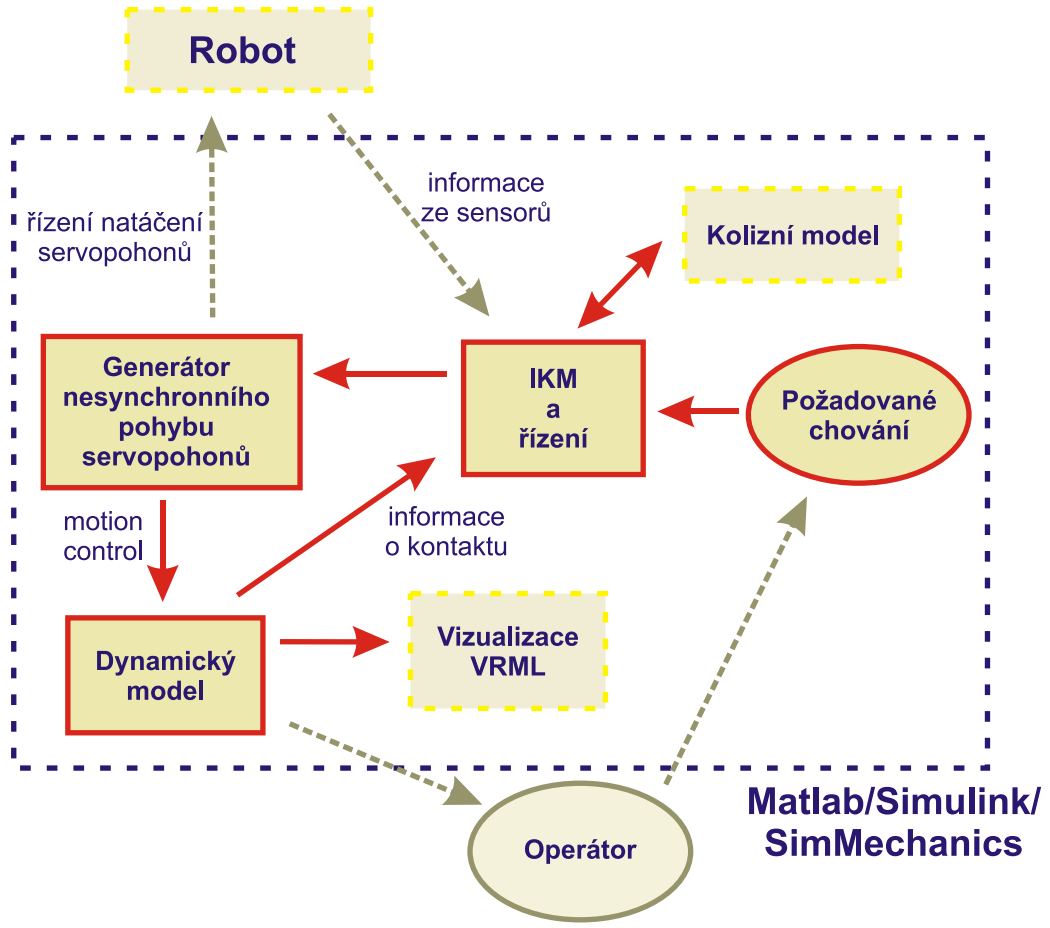
Po provedení experimentů potřebných k úpravám konstrukce a programového kódu mikrokontroleru jsme se zabývali zdokonalováním řídícího modelu. Dalším požadavkem byla implementace dynamického modelu pro určení stability (DyMS) robotu. Filosofie výpočtu je stejná jako v [7], problémem je návrh takové struktury modelu, která by umožnila výpočet i vizualizaci v reálném čase. Provedli jsme několik pokusů o rozšíření předchozího IKM o DyMS, ale rychlosť simulace nebyla uspokojivá.



Obr. 2: Simulační schéma řídícího modelu založeného na polohové regulaci těla robotu

Výsledkem různých úvah a experimentů s kombinacemi bloků je struktura schematicky znázorněná na obr. 3. Odpovídající model v Simulinku je na obr. 4. Strukturu modelu lze charakterizovat takto:

- IKM je realizován pomocí bloku matlab fcn. Zde se provede výpočet IKM realizovaného vícevrstvou dopřednou neuronovou sítí a vykonají se potřebné transformace kinematických veličin. Z důvodu omezení náročnosti výpočtu je tato funkce volána pouze v případě, kdy algoritmus potřebuje získat souřadnice uzlových bodů trajektorie. Mezi těmito body se servopohony pohybují nesynchronizovaně pomocí lineární interpolace. Pokud je vzdálenost uzlových bodů dostatečně malá (se zřetelem k tuhosti celé konstrukce robotu), není tento nesynchronní pohyb na závadu celkovému chování robotu. Simulace dynamického modelu v prostředí SimMechanics a popsané řídící bloky mají zcela odlišné požadavky na velikost simulačního kroku. Proto jsou bloky IKM a generování nesynchronního řízení uzavřeny do bloků enabled and triggered subsystem, které toto i na základě vnějších signálů (dosažení uzlového bodu, ztráta stability) ošetří.
- Generátor nesynchronního pohybu působí kinematicky motion actuating pomocí bloků actuator na jednotlivé rotační vazby (servopohony) DyMS v SimMechanics. Tento je zcela shodný s modelem popsaným v předchozím odstavci 3.1. Rozdíl je pouze v jeho vazbou s terénem. Místo sférické vazby je robot uložen na lineárních pružinách a tlumičích. Tím je vyřešen problém kinematické přeúčtenosti soustavy. Blíže je problematika popsána v [7]. Vazba pružinou a tlumičem je realizována jako kontaktní úloha (síla se přenáší pouze pokud je síla kladná).
- Velikostí sil v kontaktu nohy s terénem je dána míra stability robotu. Hodnoty lze použít zpětně v řídícím algoritmu.



Obr. 3: Schéma struktury řídícího modelu realizovaného v Simulink

- Pokud jde o samotné možnosti zadávání požadovaného chování robota, vycházíme z předpokladu, že veškeré možné akce robota lze při předpokladu stabilního pohybu sestavit z pohybu těla robota (kdy jsou tři nebo čtyři nohy jsou v kontaktu s terénem) a přemístění volné nohy. Z časových důvodů (vývoj algoritmu) jsme omezili pohyby těla robota na translaci ve směru tří os a rotaci kolem svislé osy  $z$ , další rozšíření o zbývající dvě rotace ale není problémem.

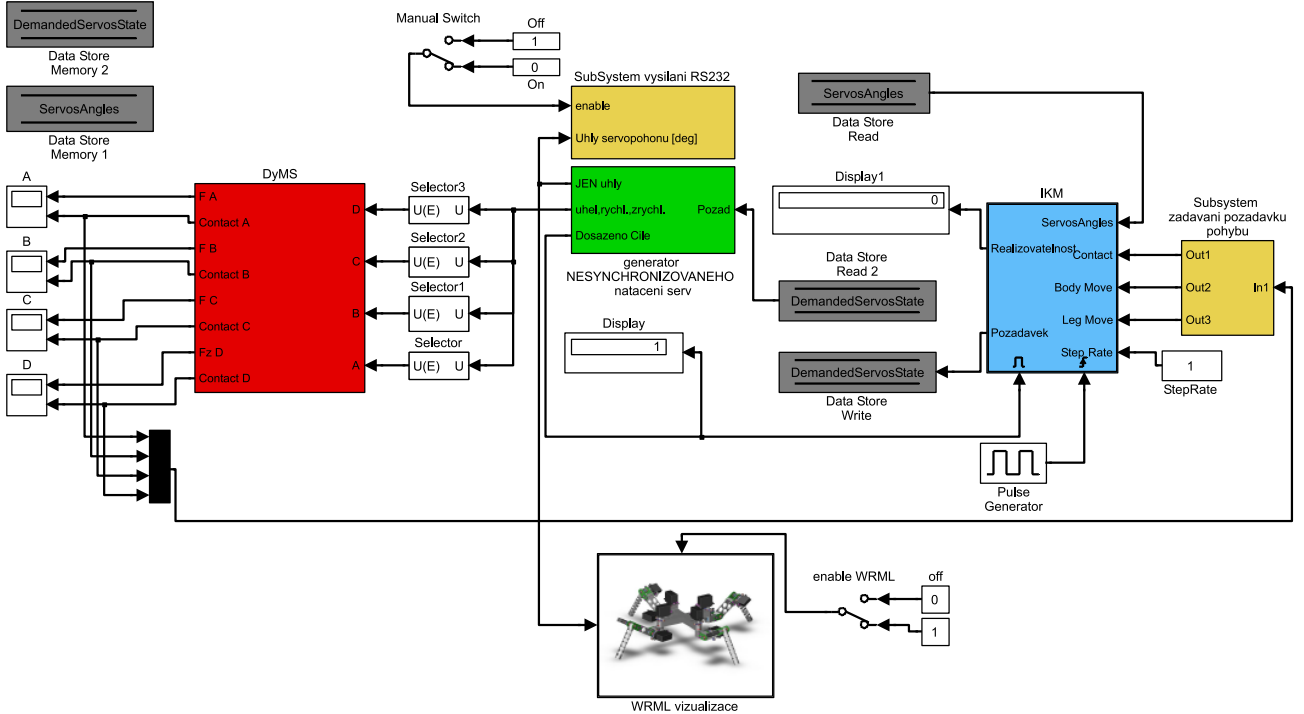
### 3.3 Ostatní bloky simulačního modelu

Velmi stručně se ještě zmíníme o částech simulačního modelu, jejichž popis přesahuje rámec tohoto příspěvku, ale ve schématu se vyskytuje.

**RS232 Blockset** je volně dostupná množina bloků navržených pro Matlab–Simulink. Vytvořil ji Leonardo Daga a lze ji najít na adrese:

<http://digilander.libero.it/LeoDaga/Simulink/RS232Blockset.htm>.

**Vizualizace ve VRML** je podrobněji představena v práci J. Chmelíčka na této konferenci [3]. Pomocí Virtual Reality Toolboxu pro Matlab je realizováno propojení simulačního modelu



Obr. 4: Výsledný simulační model pro řízení

s virtuálním světem. Nastavením přiměřené vzorkovací periody se dosáhne malého nároku na zdroje potřebné pro vizualizaci.

**Řešení kolizí** je opět popsáno v [3]. Robot je konstruován tak, že při složitějších pohybech může dojít ke kontaktu dvou sousedních noh, což je pochopitelně nežádoucí. Řídící jednotka nebo operátor o tom musí dostat informaci nebo musí být automaticky znemožněna realizace kolizní pozice robotu.

## 4 Závěr

V tomto příspěvku byl stručně nastíněn přístup k návrhu simulačního modelu v prostředí Matlab-Simulink určeného pro testovací úlohy řízení experimentálního čtyřnohého kráčejícího robota. Na počátku práce stál požadavek na maximální rychlosť tvorby modelu, který se podařilo splnit, zvláště v jednodušším případě popsaném v 3.1. Na základě provedených experimentů byly odladěny komunikační a řídící algoritmy v mikrokontroleru Atmel ATMEGA128 a provedeny některé úpravy konstrukce mechanické části robota.

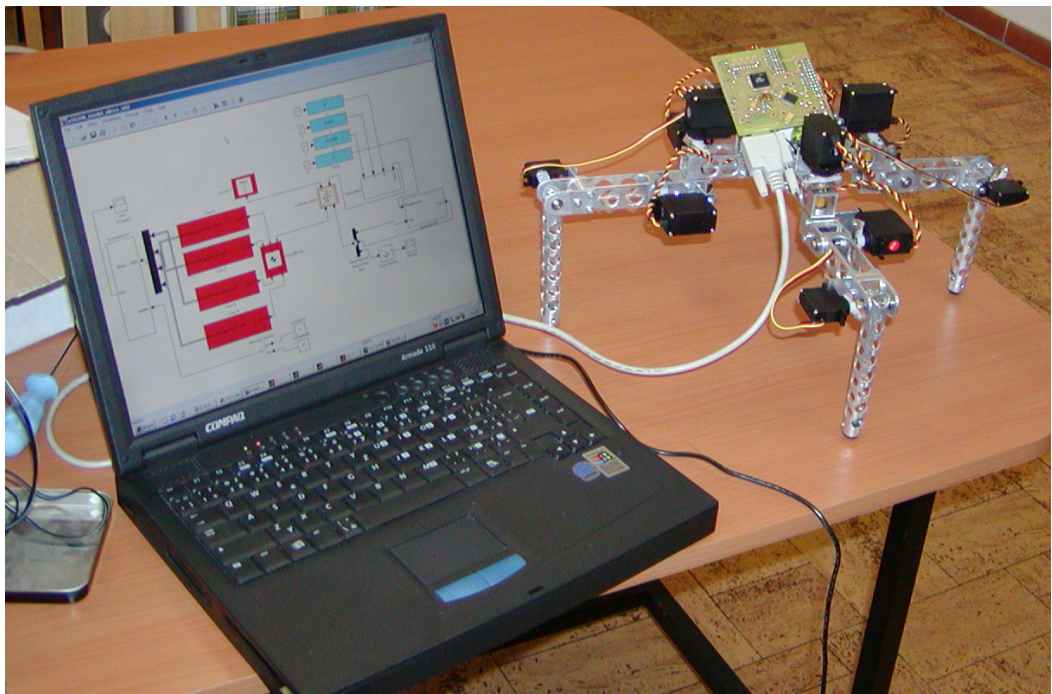
Další detailní informace jsou publikovány na této konferenci v příspěvcích [1, 2, 3]. Projekt je v současné době stále aktivní, některé výsledky může zvídavý čtenář najít také na internetových stránkách: <http://www.umt.fme.vutbr.cz/~rgrepl>.

## Poděkování

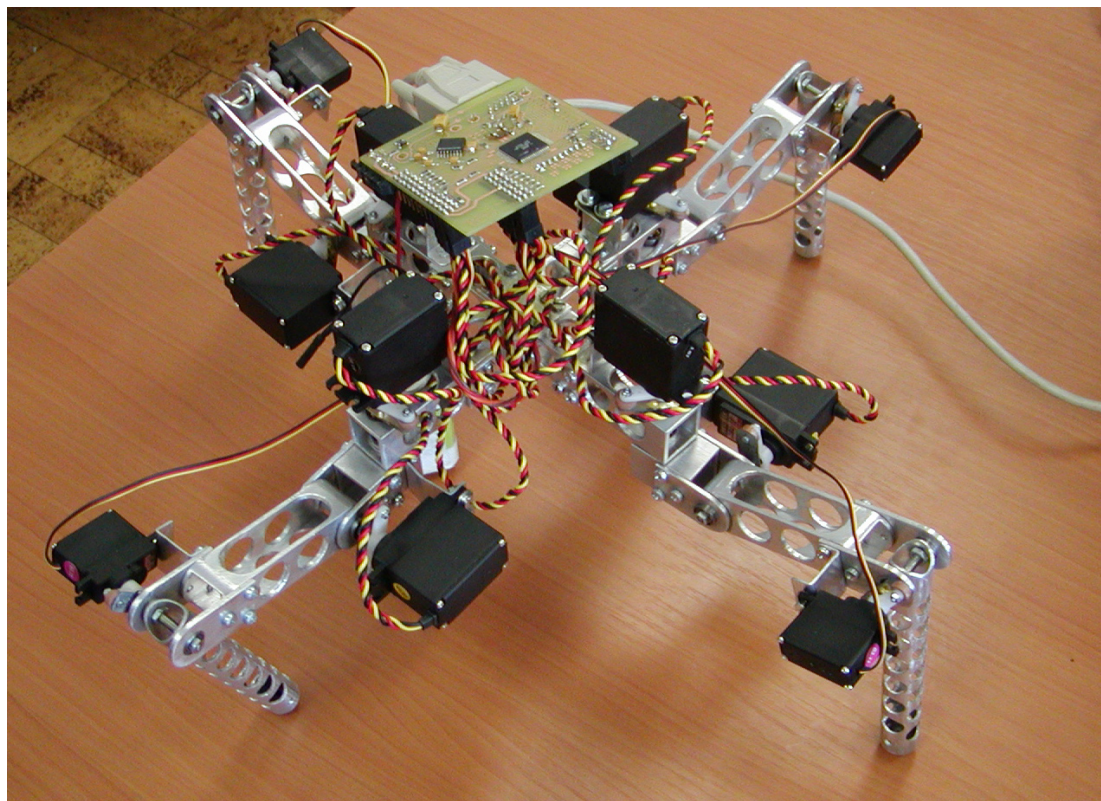
Práce vznikla za podpory pilotního projektu ÚT AV ČR č. 52020 „Realizace základních řídících členů kráčivého robota“ a projektu MŠMT MSM 262100024 „Výzkum a vývoj mechatronických soustav“.

## Reference

- [1] BEZDÍČEK, M., GREPL, R., ŠVEHLÁK, M., CHMELÍČEK, J.: *Artificial Neural Network Application To Walk Of A Four Legged Robot*, Inženýrská mechanika 2004, Svatka, Česká republika, 2004
- [2] ŠVEHLÁK, M., GREPL, R., VĚCHET, S., BEZDÍČEK, M., CHMELÍČEK, J. : *Design Of Small Laboratory Quadruped Robot*, Inženýrská mechanika 2004, Svatka, Česká republika, 2004
- [3] CHMELÍČEK, J., BEZDÍČEK, M., GREPL, R., ŠVEHLÁK: *Collision States Detection For Quadruped Robot Motion*, Inženýrská mechanika 2004, Svatka, Česká republika, 2004
- [4] WOOD, G.D.: *Simulating mechanical systems in Simulinink with SimMechanics*, The MathWorks Inc., www.mathworks.com, 2002
- [5] HOUŠKA, P., BŘEZINA, T., SINGULE, V.: *Koncepce mechatronické soustavy nohy kráčivého robota*, Inženýrská mechanika 2002, Svatka, Česká republika, 2002
- [6] HOUŠKA, P., BŘEZINA, T., SINGULE, V.: *Control and synchronization drive unit of leg of walking robot*, Mechatronics, Robotics and Biomechanics 2003, international conference, Hrotovice, Czech Republic, 2003
- [7] GREPL, R.: *Dynamic model for stability control of walking robot*, Colloquium Dynamics of Machines 2004, Praha, 10.-11.2., 2004
- [8] GREPL, R.: *Kinematic and Dynamic Modelling of Quadruped Walking Robot*, Mechatronika 2003, 6th International Symposium On Mechatronics, 18.-20. června, Trenčianské Teplice, Slovensko, 2003
- [9] GREPL, R., ONDRŮŠEK, Č.: *Inverzní kinematické modelování v SIMMECHANICS a jeho aplikace na robotické mechanismy*, Inženýrská mechanika 2003, 12.-15. května, Svatka, Česká republika, 2003
- [10] GREPL, R., KRATOCHVÍL, C.: *Robotic Leg Inverse Dynamic Modelling and Design Optimization in SimMechanics*, Mechatronics, Robotics and Biomechanics 2003, mezinárodní konference, Hrotovice, Česká republika, 2003
- [11] GREPL, R., KRATOCHVÍL, C.: *Inverzní kinematický model robotické nohy metodou Lazy Learning*, Výpočtová mechanika 2002, 29.-31. října, Nečtiny, Česká republika, 2002



Obr. 5: Ukázka propojení počítače s fyzikálním modelem během počátečních testů



Obr. 6: Detailní foto robotu během testování